

九州大学 工学部 正員 山崎徳也

福岡建設コンサルタント " 練藤実

九州大学 工学部 " ○太田俊昭

1. 緒言 材軸方向に塑性領域をもち両材端の支持条件が任意の直線部材のたわみ曲線の算定は、仮想仕事り原理にさきに著者らが導いた弾塑性補正エネルギーの実用式を用いることによつて容易に求めることができる。そこで両材端に反力ならびに不静定モーメントと中間荷重（振りモーメントはたわみ曲線には影響しない）を受ける直線部材の弾性および弾塑性時ににおけるたわみ曲線の一般式を導き、各種係数値をあらかじめ算出のうえ数表化しておけば、これを直線部材で構成される平面および立体ラーメンに応用することによって、かかる構造物が弾性および弾塑性時に如何なる変形状態を示すか、また如何なる変形過程を経て崩壊に達するかをつぶさに観察することが可能となる。以下にその骨子を概説する。

2. 両端に塑性領域を有する直線部材のたわみ曲線

図-1のごとく、両材端A, Bより、それよりAC, BDの範囲に塑性領域をもつ等断面直線部材ABを考え、両材端A, Bにそれぞれ不静定モーメントM_{AB}, M_{BA}および反力R_A, R_Bが働くとき部材ABに貢えられる補正エネルギーUを算定すれば、文献(1)より

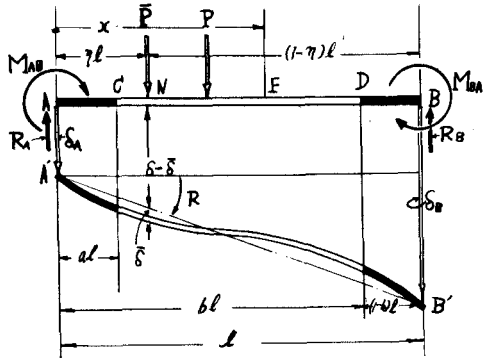
$$U = \int_0^l \frac{M^2}{2EI} dx + K_1 \int_0^{al} \frac{(M - M_{yA})^2}{2EI} dx + K_1 \int_{bl}^l \frac{(M - M_{yB})^2}{2EI} dx \quad (1)$$


図-1

ここに M_{yA} , M_{yB} はそれぞれC, Dの降伏曲げモーメント値を表し、符号は作用モーメントのそれに合致するものとする。またEIは曲げ剛性で、 $K_1 = K'_1 - 1$ であり、 K'_1 はM-中立1近似直線の弾塑性部の勾配を規定する定数で、詳しくは文献(2)を参照のこと。

さて部材上の定戻Nのたわみは図-1に示すごとく同戻Nに假想荷重Pを加えることによつて以下のごとく算定される。すなわち、部材の任意戻Eに働くモーメントは一般に次式で与えられる。

$$\left. \begin{aligned} A \sim N \text{ 区間}; \quad M &= R_A x + M_{AB} + M_0 + (1-\eta)x\bar{P} \\ N \sim B \text{ 区間}; \quad M &= R_A x + M_{AB} + M_0 + \eta(l-x)\bar{P} \end{aligned} \right\} \quad (2)$$

ただし $R_A = -(M_{AB} + M_{BA})/l$, M_0 : 中間荷重による任意戻Eのモーメント。

よつて式(1)に式(2)を代入するえ変分原理を適用すれば、定戻Nのたわみ $\bar{\delta}$ は次のごとく求められる。

$$(i) \text{ 領域-I } (A \sim C); \quad \bar{\delta}_1 = \left. \frac{\partial U}{\partial \bar{P}} \right|_{\bar{P}=0} = \int_0^l \frac{M}{EI} \frac{\partial M}{\partial \bar{P}} dx + K_1 \int_0^{al} \frac{(M - M_{yA})}{EI} \frac{\partial M}{\partial \bar{P}} dx + K_1 \int_{bl}^l \frac{(M - M_{yB})}{EI} \frac{\partial M}{\partial \bar{P}} dx$$

$$+ K_1 \int_{bl}^l \frac{(M - M_{yB})}{EI} \frac{\partial M}{\partial \bar{P}} dx = \int_0^{al} \frac{M}{EI} (1-\eta)x dx + \int_{al}^l \frac{M}{EI} \eta(l-x) dx +$$

$$K_1 \left\{ \int_0^{\eta l} \frac{(M - M_{yA})}{EI} (1-\eta)x dx + \int_{\eta l}^{\alpha l} \frac{(M - M_{yA})}{EI} \eta (l-x) dx + \int_{\alpha l}^{l} \frac{(M - M_{yB})}{EI} \eta (l-x) dx \right\}$$

上式を x について積分し、結果を整理すれば次式を得る。

$$\bar{\delta}_I = (\delta_{aI} \cdot M_{AB} + \delta_{bI} \cdot M_{BA} + \delta_{cI} \cdot M_{yA} + \delta_{dI} \cdot M_{yB} + \delta_{oI}) \times l^2 / EI \quad \dots \dots \dots (3)$$

(ii) 領域 - II ($C \sim D$) :

$$\begin{aligned} \bar{\delta}_{II} &= \int_0^{\eta l} \frac{M}{EI} (1-\eta)x dx + \int_{\eta l}^l \frac{M}{EI} (l-x)\eta dx + K_1 \left\{ \int_0^{\alpha l} \frac{(M - M_{yA})}{EI} (1-\eta)x dx \right. \\ &\quad \left. + \int_{\alpha l}^l \frac{(M - M_{yB})}{EI} \eta (l-x) dx \right\} \end{aligned}$$

$$\text{よって } \bar{\delta}_{II} = (\delta_{aII} \cdot M_{AB} + \delta_{bII} \cdot M_{BA} + \delta_{cII} \cdot M_{yA} + \delta_{dII} \cdot M_{yB} + \delta_{oII}) \times l^2 / EI \quad \dots \dots \dots (4)$$

(iii) 領域 - III ($D \sim B$) :

$$\begin{aligned} \bar{\delta}_{III} &= \int_0^{\eta l} \frac{M}{EI} (1-\eta)x dx + \int_{\eta l}^l \frac{M}{EI} (l-x)\eta dx + K_1 \left\{ \int_0^{\alpha l} \frac{(M - M_{yA})}{EI} (1-\eta)x dx \right. \\ &\quad \left. + \int_{\alpha l}^{bl} \frac{(M - M_{yB})}{EI} (1-\eta)x dx + \int_{bl}^l \frac{(M - M_{yB})}{EI} \eta (l-x) dx \right\} \end{aligned}$$

$$\text{よって } \bar{\delta}_{III} = (\delta_{aIII} \cdot M_{AB} + \delta_{bIII} \cdot M_{BA} + \delta_{cIII} \cdot M_{yA} + \delta_{dIII} \cdot M_{yB} + \delta_{oIII}) \times l^2 / EI \quad \dots \dots \dots (5)$$

以上より領域 - i ($i = I, II, III$) における所要のたわみ曲線 δ_i の算定式が、両枝端の変位 δ_A, δ_B の影響を加味して結局次式で与えられる。

$$\delta_i = \bar{\delta}_i + (1-\eta) \delta_A + \eta \delta_B \quad \dots \dots \dots (6)$$

ここに $\delta_{aI}, \delta_{bI}, \dots, \delta_{dIII}$ の式内容は、それ表 - 1 に示すごとくで、部材の寸管寸法に対する諸値を a, b を変数として数表化して実用に供するごとくしたが、紙面の都合上表 - 1 にその1例を示すに止めた。また $\delta_{oI}, \delta_{oII}, \dots$ は中間荷重によるたわみ影響量であり、次の式(7)の内容となる。

表 - 1

i	I	II	III
δ_{aI}	$K_1' \{ \eta f_1(a) - g_1(\eta) \}$ + $\eta \{ f_1(b) - f_1(a) \}$ + $K_1' \eta \{ f_1(1) - f_1(b) \}$	$K_1' \{ \eta f_1(a) - g_1(a) \}$ + $\eta \{ f_1(b) - f_1(a) \}$ - $g_1(\eta) + g_1(a)$ + $K_1' \eta \{ f_1(1) - f_1(b) \}$	$K_1' \{ \eta f_1(a) - g_1(a) \}$ + $\eta \{ f_1(b) - f_1(a) \} - g_1(b)$ + $g_1(a) + K_1' \{ \eta \{ f_1(1) - f_1(b) \} - \{ g_1(\eta) - g_1(b) \} \}$
δ_{bI}	$K_1' \{ \eta f_2(a) - g_2(\eta) \}$ + $\eta \{ f_2(b) - f_2(a) \}$ + $K_1' \eta \{ f_2(1) - f_2(b) \}$	$K_1' \{ \eta f_2(a) - g_2(a) \}$ + $\eta \{ f_2(b) - f_2(a) \}$ - $g_2(\eta) + g_2(a)$ + $K_1' \eta \{ f_2(1) - f_2(b) \}$	$K_1' \{ \eta f_2(a) - g_2(a) \}$ + $\eta \{ f_2(b) - f_2(a) \} - g_2(b)$ + $g_2(a) + K_1' \{ \eta \{ f_2(1) - f_2(b) \} - \{ g_2(\eta) - g_2(b) \} \}$
δ_{cI}	$(1-K_1') \{ \eta f_3(a) - g_3(\eta) \}$	$(1-K_1') \{ \eta f_3(a) - g_3(a) \}$	$(1-K_1') \{ \eta f_3(a) - g_3(a) \}$
δ_{dI}	$(1-K_1') \{ f_3(1) - f_3(b) \} \eta$	$(1-K_1') \{ f_3(1) - f_3(b) \} \eta$	$(1-K_1') \{ \eta \{ f_3(1) - f_3(b) \} - \{ g_3(\eta) - g_3(b) \} \}$

ただし $f_1(x) = x - x^2 + x^3/3, f_2(x) = -x^2/2 + x^3/3, f_3(x) = x - x^2/2, g_1(x) = 7x - (11\eta)x^2/2 + x^3/3, g_2(x) = -7x/2 + x^3/3, g_3(x) = 7x - x^2/2$.

$$\delta_{0I} = \int_0^{\eta} M_0 (1-\eta) \xi d\xi + \int_{\eta}^1 M_0 \eta (1-\xi) d\xi + K_1 \left\{ \int_0^{\eta} M_0 (1-\eta) \xi d\xi + \int_{\eta}^a M_0 \eta (1-\xi) d\xi + \int_b^1 M_0 \eta (1-\xi) d\xi \right\}$$

$$\delta_{0II} = \int_0^{\eta} M_0 (1-\eta) \xi d\xi + \int_{\eta}^1 M_0 \eta (1-\xi) d\xi + K_1 \left\{ \int_0^a M_0 (1-\eta) \xi d\xi + \int_b^1 M_0 \eta (1-\xi) d\xi \right\}$$

$$\delta_{0III} = \int_0^{\eta} M_0 (1-\eta) \xi d\xi + \int_{\eta}^1 M_0 \eta (1-\xi) d\xi + K_1 \left\{ \int_0^a M_0 (1-\eta) \xi d\xi + \int_b^{\eta} M_0 (1-\eta) \xi d\xi + \int_{\eta}^1 M_0 \eta (1-\xi) d\xi \right\}$$

ただし $\xi = x/l$ ----- (7)

なお上記の δ_{0I} , δ_{0II} , δ_{0III} , δ_{0III} および荷重に関する δ_{0i} にあいて $a = 0$, $b = 1$ とすれば、直ちに式(6) ($i = II$) は弾性時における直線部材のたわみ曲線の算定式となる。

3. 中間に塑性領域を有する直線部材のたわみ曲線

図-2のごとく CD の範囲に塑性領域を有する直線部材 AB を考え、両材端 A, B に M_{AB} , M_{BA} および R_A, R_B が働くとき部材全体に貢献される補正エネルギー U を算定すれば、同じく文献(1)より次式で与えられる。

$$U = \int_0^l \frac{M^2}{2EI} dx + K_1 \int_{al}^{bl} \frac{(M - My_c)^2}{2EI} dx ----- (8)$$

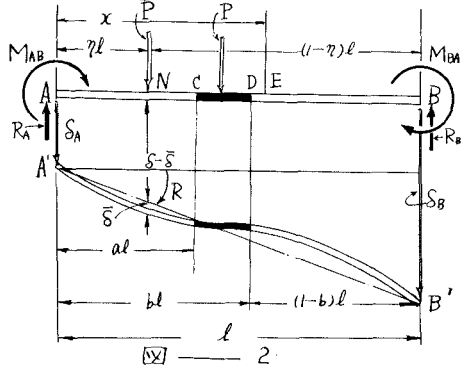
2. の場合と同様に、定荷重 N に仮想荷重 P を加え、変分原理を適用して領域-I ($i = I, II, III$) のたわみ曲線 δ_i を求めて整理すれば、結局次のとく纏められる。

$$\delta_i = (\delta_{ai} \cdot M_{AB} + \delta_{bi} \cdot M_{BA} + \delta_{ci} \cdot My_c + \delta_{oi}) \times l^2 / EI + (1-\eta) \delta_A + \eta \delta_B --- (9)$$

ここに δ_{ai} , δ_{bi} , δ_{ci} は表-2 に示すごとくなり、また δ_{oi} は中間荷重によるたわみ影響量で、それと次の式(10)の内容となる。

表-2

i	I	II	III
δ_{ai}	$\eta f_1(a) - g_1(\eta)$ + $K_1' \eta \{ f_1(b) - f_1(a) \}$ + $\eta \{ f_1(1) - f_1(b) \}$	$\eta f_1(a) - g_1(a)$ + $K_1' [\eta \{ f_1(b) - f_1(a) \}$ - $\{ g_1(\eta) - g_1(a) \}]$ + $\eta \{ f_1(1) - f_1(b) \}$	$\eta f_1(a) - g_1(a) + K_1' [\eta \{ f_1(b) \}$ - $f_1(a) \} - \{ g_1(b) - g_1(a) \}]$ + $\eta \{ f_1(1) - f_1(b) \}$ - $g_1(\eta) + g_1(b)$
δ_{bi}	$\eta f_2(a) - g_2(\eta)$ + $K_1' \eta \{ f_2(b) - f_2(a) \}$ + $\eta \{ f_2(1) - f_2(b) \}$	$\eta f_2(a) - g_2(a)$ + $K_1' [\eta \{ f_2(b) - f_2(a) \}$ - $\{ g_2(\eta) - g_2(a) \}]$ + $\eta \{ f_2(1) - f_2(b) \}$	$\eta f_2(a) - g_2(a) + K_1' [\eta \{ f_2(b) \}$ - $f_2(a) \} - \{ g_2(b) - g_2(a) \}]$ + $\eta \{ f_2(1) - f_2(b) \}$ - $g_2(\eta) + g_2(b)$
δ_{ci}	$(1-K_1') \{ f_3(b) - f_3(a) \} \eta$	$(1-K_1') [\eta \{ f_3(b) - f_3(a) \}$ - $g_3(\eta) + g_3(a) \}$	$(1-K_1') [\eta \{ f_3(b) - f_3(a) \}$ - $g_3(b) + g_3(a) \}$



$$\left. \begin{aligned} \delta_{0I} &= \int_0^{\eta} M_0 (1-\eta) \xi d\xi + \int_{\eta}^1 M_0 \eta (1-\xi) d\xi + K_1 \int_a^b M_0 \eta (1-\xi) d\xi \\ \delta_{0II} &= \int_0^{\eta} M_0 (1-\eta) \xi d\xi + \int_{\eta}^1 M_0 \eta (1-\xi) d\xi + K_1 \left\{ \int_a^{\eta} M_0 (1-\eta) \xi d\xi + \int_{\eta}^b M_0 \eta (1-\xi) d\xi \right\} \\ \delta_{0III} &= \int_0^{\eta} M_0 (1-\eta) \xi d\xi + \int_{\eta}^1 M_0 \eta (1-\xi) d\xi + K_1 \int_a^b M_0 (1-\eta) \xi d\xi \end{aligned} \right\} \quad \text{--- (10)}$$

[矩形断面をもつ直線部材の基本的変位 ($a=0.2, b=0.8$)]図-3

η	δ_{0I}	δ_{0II}	δ_{0III}	δ_{0IV}
0.1	0.0636	-0.0264	0.0130	-0.0020
0.2	0.0912	-0.0488	0.0160	-0.0040
0.3	0.0983	-0.0667	0.0140	-0.0060
0.4	0.0984	-0.0816	0.0120	-0.0080
0.5	0.0925	-0.0925	0.0100	-0.0100
0.6	0.0816	-0.0984	0.0080	-0.0120
0.7	0.0667	-0.0982	0.0060	-0.0140
0.8	0.0488	-0.0912	0.0040	-0.0160
0.9	0.0264	-0.0636	0.0020	-0.0180

4. 計算例

図-3(a)および図-4(a)に示す矩形断面の両端固定ばかりおよび格子桁(たてし部材)の断面は、内径/外径 = 0.8 の円管断面とする。が、それより漸増集中荷重 P を受けて崩壊に至るまでのたわみ曲線を算定し、結果の一部をそれぞれ図-3(b)および図-4(b)に図示した。(図中括弧内の数値はたわみ値を表す。)

5. 結び 本論文は直線部材で構成される平面および立体ラーメンの弾性および塑性時におけるたわみ曲線を直接数値で決定しうる実用解法を提示したもので、本研究の結果、図-3(b)および図-4(b)に示すごとく塑性領域の発生に伴う曲げ剛性の減少と、塑性ヒンジ形成後のたわみ角の不連続現象などの、構造物が塑性時に示す変形特性の全貌が簡明に把握せられようようになった。

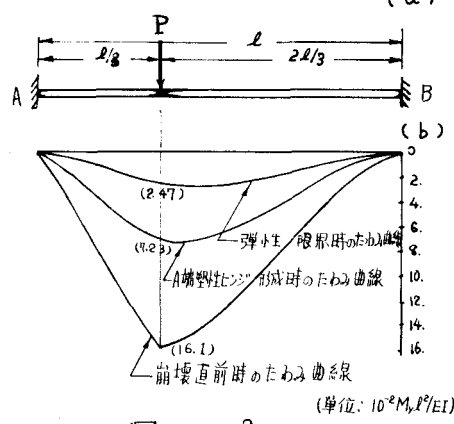


図-3

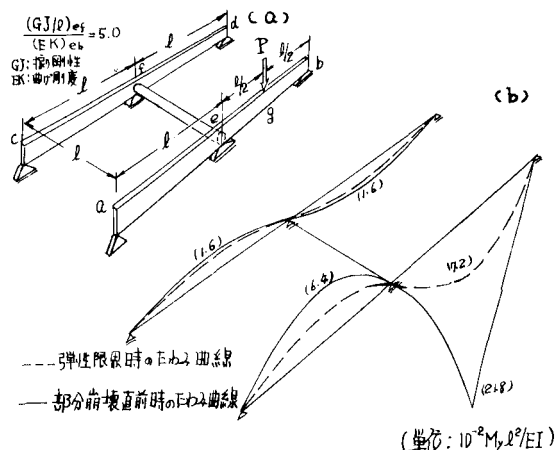


図-4

(文摘) (1) T. Yamazaki and T. Ochiai: Simplified Elasto-Plastic Analysis of Structures by Complementary Energy Method, Proc. of the 14th Japan National Congress for Applied Mechanics, 1965 December, 1965

(2) 山崎, 太田, 石川: 补正エネルギー法による直線構造物の塑性解析, 土木学会論文集, 第134号, 昭和41年10月

(3) 山崎, 太田, 遠水: 曲げおよび斜張りをうける部材より構成される立体ラーメンの塑性解析, 大州工学雑誌, 第40卷, 第4号, 昭和42年3月